

# การทำนายสมรรถนะของมอเตอร์เหนี่ยวนำสามเฟส เมื่อต่อ กับระบบไฟฟ้าหนึ่งเฟส ในรูปแบบของการปิดสายต่อต่อรวมถ้วนแบบขนาน

Performance Prediction of Three-phase  
Induction Motor Operated by Single-phase Supply System  
under Parallel Permanent Connected Capacitor Condition

อาจารย์กุลสมทรัพย์ เย็นจ้ำชลิต

สาขาวิชาเทคโนโลยีไฟฟ้าอุตสาหกรรม มหาวิทยาลัยราชภัฏเทพสตรี

## บทคัดย่อ

บทความนี้นำเสนอการทำนายสมรรถนะของมอเตอร์เหนี่ยวนำสามเฟสเมื่อต่อ กับระบบไฟฟ้าหนึ่งเฟสในสภาพต่อค่าปิดสายต่อต่อรวมถ้วนแบบขนานค่าต่าง ๆ โดยพิจารณาในแง่ของความสัมพันธ์ระหว่างแรงบิดกับความเร็วรอบ และประสิทธิภาพของมอเตอร์ โดยนำค่าพารามิเตอร์ที่ได้จากการทดสอบมอเตอร์เหนี่ยวนำสามเฟสมาประยุกต์ใช่วิธีการพิจารณาวงจรสมมูลมอเตอร์เหนี่ยวนำสองขดลวดที่ไม่สมมาตรของมอเตอร์เหนี่ยวนำหนึ่งเฟส หลังจากนั้นนำผลที่ได้จากการคำนวณมาเปรียบเทียบกับผลที่ได้จากการทดสอบจริง จากผลที่ได้จะเห็นว่าเทคนิคการทำนายสมรรถนะของมอเตอร์ที่นำเสนอได้สามารถทำนายสมรรถนะของมอเตอร์เหนี่ยวนำสามเฟสที่ดัดแปลงมาใช้กับระบบไฟฟ้าหนึ่งเฟสได้จริง ซึ่งเป็นประโยชน์สำหรับการเลือกใช้ขนาดค่าวิชาปิดสายต่อต่อรวมถ้วนกับคุณลักษณะของโหลด

## คำสีบค้น

มอเตอร์เหนี่ยวนำสามเฟส การทำนายสมรรถนะของมอเตอร์ มอเตอร์ค่าปิดสายต่อต่อต่อรวมถ้วนแบบขนาน วงจรสมมูลมอเตอร์เหนี่ยวนำแบบสองขดลวดที่ไม่สมมาตร

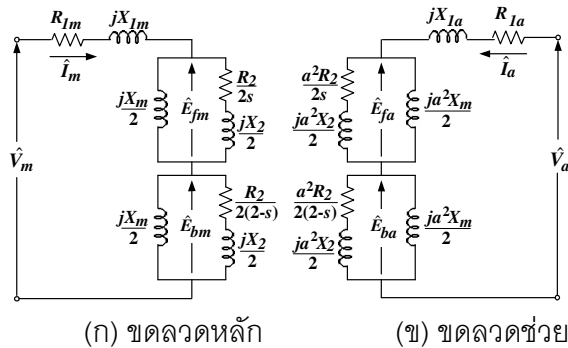
บทนำ

มอเตอร์หนี่ยวน้ำสามเฟสเป็นมอเตอร์ที่มีใช้กันอย่างแพร่หลาย สำหรับโรงงานอุตสาหกรรมมักนิยมใช้งานมอเตอร์หนี่ยวน้ำสามเฟสมากกว่ามอเตอร์หนี่ยวน้ำหนึ่งเฟส เนื่องจากมอเตอร์หนี่ยวน้ำสามเฟสมีราคาถูกกว่าประสิทธิภาพสูงกว่า มีพิกัดใช้งานหลากหลายมากกว่า โดยมีตั้งแต่ขนาดเล็กจนถึงขนาดใหญ่ ในขณะที่มอเตอร์หนี่ยวน้ำหนึ่งเฟส มีเฉพาะขนาดเล็ก และที่พิกัดกำลังเท่ากันมอเตอร์หนี่ยวน้ำสามเฟส มีขนาดเล็กกว่าจึงใช้พื้นที่ติดตั้งน้อยกว่า อย่างไรก็ตามถ้าผู้ใช้มอเตอร์หนี่ยวน้ำสามเฟสแต่ไม่มีแหล่งจ่ายแรงดันไฟฟ้าสามเฟส และ/หรือต้องการใช้งานมอเตอร์หนี่ยวน้ำหนึ่งเฟสที่ขนาดพิกัดสูง ๆ การนำมอเตอร์หนี่ยวน้ำสามเฟสที่มีอยู่มาต่อใช้งานกับแหล่งจ่ายไฟแบบหนึ่งเฟสจึงเป็นสิ่งที่มีประโยชน์ และคุ้มค่า จากบทความวิจัย [1] แสดงให้เห็นว่าเมื่อต่อคากาวรชีเเตอร์แบบขานเข้ากับขดลวดสเตเตอร์ของมอเตอร์ มอเตอร์ที่ถูกตัดแปลงสามารถรับโหลดได้มากกว่าการต่อคากาวรชีเเตอร์ในลักษณะอนุกรม โดยสมรรถนะของมอเตอร์ที่ตัดแปลงจะขึ้นอยู่กับขนาดคากาวรชีเเตอร์ที่นำมาต่อขาน ดังนั้น การทำนายสมรรถนะของมอเตอร์เพื่อให้ทราบถึงผลของคากาวรชีเเตอร์ที่มีต่อคุณลักษณะ และความสามารถรับโหลดของมอเตอร์ก่อนจะนำมอเตอร์ไปใช้งานจริงจึงเป็นสิ่งที่น่าสนใจ

บทความนี้นำเสนอเทคนิคการทำนายสมรรถนะของมอเตอร์ในเบื้องต้นของความสัมพันธ์ระหว่างแรงบิด-ความเร็ว รอบ และประสิทธิภาพของมอเตอร์ที่ได้จากการตัดแปลงนำ้มอเตอร์เหล่านี้ยาน้ำยาเพลスマใช้กับแหล่งจ่ายแรงดันไฟฟ้าหนึ่งเฟส โดยนำวิธีการคำนวณจะสมมูลมอเตอร์เหล่านี้ยาน้ำยาสองขดลวดที่ไม่สมมาตรของมอเตอร์ เหล่านี้ยาน้ำยาหนึ่งเพลスマประยุกต์ใช้ เพื่อให้เห็นถึงความถูกต้องของวิธีการที่นำเสนอจึงนำผลที่ได้จากการคำนวณมาเปรียบเทียบกับผลการทดสอบจริง จากผลที่ได้จะเห็นได้ว่าข้อมูลที่ได้มีความสอดคล้องกัน ดังนั้นด้วยวิธีการที่นำเสนอนี้จะเป็นประโยชน์ต่อการเลือกใช้ขนาดควรปานกลางให้เหมาะสมกับลักษณะโหลด ซึ่งเป็นผลให้มอเตอร์ทำงานในช่วงที่มีประสิทธิภาพสูง

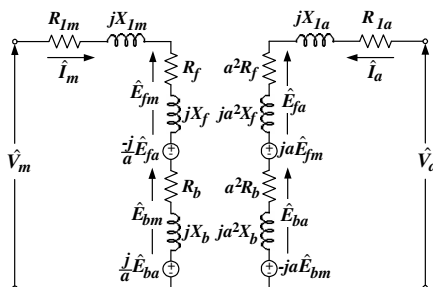
## 2. ວົງຈົກ ແລະ ວິທີການຄໍານະວັນທີໜໍາເສນອ

มคอเตอร์เหนี่ยวนำหนึ่งไฟสปาร์ก Kobayashi ชุดลวดหลัก และชุดลวดซี่วาย เมื่อพิจารณาเป็นวงจรสมมูลแยกแต่ละชุดลวดเป็นดังแสดงในรูปที่ 1 หลังจากนั้นเมื่อนำค่าแรงดันไฟฟ้าเหนี่ยวนำระหว่างชุดลวดมาพิจารณาร่วมด้วยสามารถเขียนวงจรสมมูลของมคอเตอร์ได้ใหม่เป็นดังรูปที่ 2 [2] สำหรับการดัดแปลงนำ้มคอเตอร์เหนี่ยวนำสามเฟสมาต่อใช้งานกับแหล่งจ่ายไฟหนึ่งไฟสปาร์กโดยต่อคากาชิเตอร์ข้างนอกเข้ากับชุดลวดสเตเตอร์ดังแสดงในรูปที่ 3 สามารถพิจารณาโดยนำหลักการของมคอเตอร์เหนี่ยวนำแบบสองชุดลวดที่ไม่สมมาตรรวมไว้ ทำให้ได้วงจรสมมูลของมคอเตอร์คาวร์กากาชิเตอร์แบบข้างนอกเป็นดังรูปที่ 4 [3]



(ก) ขดลวดหลัก (ข) ขดลวดช่วย

รูปที่ 1 วงจรสมมูลมอเตอร์เนี้ยวยานนำเฟส



(ก) ขดลวดหลัก (ข) ขดลวดช่วย

รูปที่ 2 วงจรสมมูลมอเตอร์เนี้ยวยานนำแบบสองขดลวดที่ไม่สมมาตร

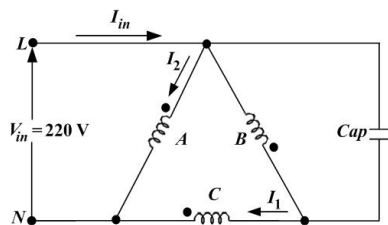
กำหนดให้

$V_m$	คือ แรงดันไฟฟ้าของขดลวดหลัก
$V_a$	คือ แรงดันไฟฟ้าของขดลวดช่วย
$I_m$	คือ กระแสไฟฟ้าของขดลวดหลัก
$I_a$	คือ กระแสไฟฟ้าของขดลวดช่วย
$E_{fm}$	คือ แรงดันไฟฟ้านี้ยวนำในส่วน Forward field ของขดลวดหลัก
$E_{bm}$	คือ แรงดันไฟฟ้านี้ยวนำในส่วน Backward field ของขดลวดหลัก
$E_{fa}$	คือ แรงดันไฟฟ้านี้ยวนำในส่วน Forward field ของขดลวดช่วย
$E_{ba}$	คือ แรงดันไฟฟ้านี้ยวนำในส่วน Backward field ของขดลวดช่วย
$a, a_1$	คือ อัตราส่วนจำนวนรอบของขดลวดช่วยต่อขดลวดหลัก
$R_{lm}, X_{lm}, Z_{lm}$	คือ ความต้านทาน รีแอคเคนซ์ และอิมพีเดนซ์ของขดลวดหลัก
$R_{la}, X_{la}, Z_{la}$	คือ ความต้านทาน รีแอคเ肯ซ์ และอิมพีเดนซ์ของขดลวดช่วย
$R_{cap}, X_{cap}, Z_{cap}$	คือ ความต้านทาน รีแอคเคนซ์ และอิมพีเดนซ์ของ คาปaciเตอร์
$R_1, X_1$	คือ ความต้านทาน และรีแอคเคนซ์ของขดลวดสเตเตอร์
$R_2, X_2$	คือ ความต้านทาน และรีแอคเคนซ์ของโรเตอร์
$X_m$	คือ แมกนีเตชันรีแอคเคนซ์
$Z_{fm}$	คือ อิมพีเดนซ์ในส่วน Forward field ของขดลวดหลัก

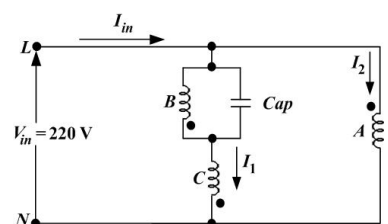
$Z_{bm}$  คือ อิมพีเดนซ์ในส่วน Backward field ของขดลวดหลัก

$Z_{fa}$  คือ อิมพีเดนซ์ในส่วน Forward field ของขดลวดช่วย

$Z_{ba}$  คือ อิมพีเดนซ์ในส่วน Backward field ของขดลวดช่วย

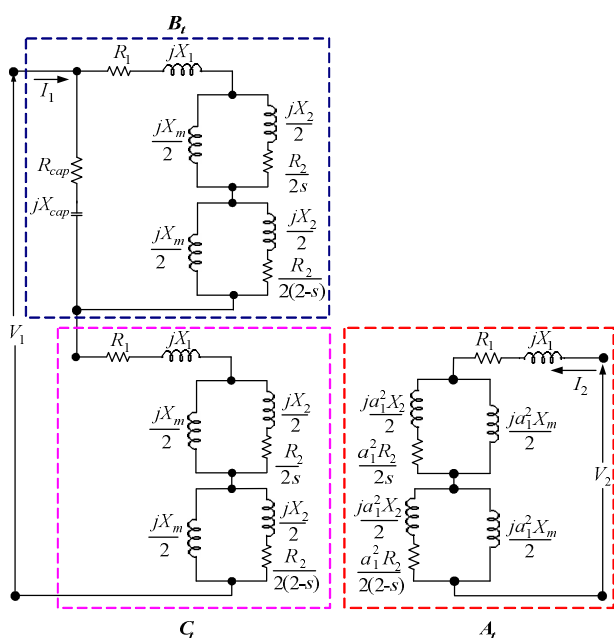


(ก) วงจรการต่อใช้ทำงาน



(ข) วงจรอย่างง่ายสำหรับพิจารณาวงจรสมมูล

รูปที่ 3 การต่อใช้งานมอเตอร์ค้าป้ำชิเตอร์ถาวรแบบข่าน



รูปที่ 4 วงจรสมมูลที่นำเสนอด้วย

เนื่องจากขอดลัดสเตเตอร์ของมอเตอร์เนี้ยวนำสามเฟสมีค่าอิมพีเดนซ์เท่ากัน จากการทดสอบบนมอเตอร์ เนี้ยวนำสามเฟส ตามมาตรฐาน IEEE Std. 112-2004 จะได้ค่าพารามิเตอร์ต่อเฟสของมอเตอร์ หลังจากนั้น คำนวณหาค่าอิมพีเดนซ์ของขอดลัดแต่ละเฟส ได้ค่าอิมพีเดนซ์เป็นดังสมการที่ (1) – (5)

$$Z_{1A} = Z_{1B} = Z_{1C} = R_1 + jX_1 \quad (1)$$

$$Z_{Af} = \left( \frac{\left( \frac{a_1^2 R_2}{2s} + j \frac{a_1^2 X_2}{2} \right) \times \left( \frac{j a_1^2 X_m}{2} \right)}{\frac{a_1^2 R_2}{2s} + j a_1^2 \left( \frac{X_2 + X_m}{2} \right)} \right) \quad (2)$$

$$Z_{Ab} = \left( \frac{\left( \frac{a_1^2 R_2}{2(2-s)} + j \frac{a_1^2 X_2}{2} \right) \times \left( \frac{j a_1^2 X_m}{2} \right)}{\frac{a_1^2 R_2}{2(2-s)} + j a_1^2 \left( \frac{X_2 + X_m}{2} \right)} \right) \quad (3)$$

$$Z_{Bf} = Z_{Cf} = \left( \frac{\left( \frac{R_2}{2s} + j \frac{X_2}{2} \right) \times \left( \frac{jX_m}{2} \right)}{\frac{R_2}{2s} + j \left( \frac{X_2 + X_m}{2} \right)} \right) \quad (4)$$

$$Z_{Bb} = Z_{Cb} = \left( \frac{\left( \frac{R_2}{2(2-s)} + j \frac{X_2}{2} \right) \times \left( \frac{jX_m}{2} \right)}{\left( \frac{R_2}{2(2-s)} + j \left( \frac{X_2 + X_m}{2} \right) \right)} \right) \quad (5)$$

ถ้ากำหนดให้อิมพีเดนซ์ของค่าปานิชิตอิมพีเดนซ์  $Z_{cap} = R_{cap} - jX_{cap}$  ดังนั้น อิมพีเดนซ์รวมของขอดลัดเฟส A, B และ C เป็นดัง สมการที่ (6) - (8)

$$Z_{At} = Z_{1A} + Z_{Af} + Z_{Ab} \quad (6)$$

$$Z_{Bt} = \left( \frac{(Z_{1B} + Z_{Bf} + Z_{Bb}) \times Z_{cap}}{Z_{1B} + Z_{Bf} + Z_{Bb} + Z_{cap}} \right) \quad (7)$$

$$Z_{Ct} = Z_{1C} + Z_{Cf} + Z_{Cb} \quad (8)$$

ค่ากระแสไฟฟ้าที่ไหลผ่านขอดลัดหลัก B-C ( $I_1$ ) และกระแสไฟฟ้าที่ไหลผ่านขอดลัดช่วง A ( $I_2$ ) คำนวณได้ดังนี้

$$I_1 = \begin{bmatrix} V_1 & -\frac{j}{a_1}(Z_{Af} - Z_{Ab}) \\ V_2 & Z_{At} \end{bmatrix} \quad (9)$$

$$\begin{bmatrix} (Z_{Bt} + Z_{Ct}) & -\frac{j}{a_1}(Z_{Af} - Z_{Ab}) \\ -ja_1((Z_{Bb} + Z_{Cb}) - (Z_{Bf} + Z_{Cf})) & Z_{At} \end{bmatrix}$$

$$I_2 = \begin{bmatrix} (Z_{Bt} + Z_{Ct}) & V_1 \\ -ja_1((Z_{Bb} + Z_{Cb}) - (Z_{Bf} + Z_{Cf})) & V_2 \\ (Z_{Bt} + Z_{Ct}) & -\frac{j}{a_1}(Z_{Af} - Z_{Ab}) \\ -ja_1((Z_{Bb} + Z_{Cb}) - (Z_{Bf} + Z_{Cf})) & Z_{At} \end{bmatrix} \quad (10)$$

จากรูปที่ 3 (ข) จะเห็นได้อย่างชัดเจนว่าเมื่อทราบค่ากระแสไฟฟ้า  $I_1$  และ  $I_2$  จะสามารถคำนวณหาค่ากระแสไฟฟ้าอินพุท ( $I_{in}$ ) ได้ดังสมการที่(11)

$$I_{in} = I_1 + I_2 \quad (11)$$

และสามารถคำนวณหาค่ากำลังไฟฟ้าอินพุท ( $P_{in}$ ) ได้ดังสมการที่ (12)

$$P_{in} = V_{in} I_{in} \cos \theta_{in} \quad (12)$$

กำหนดให้ความสูญเสียเนื่องจากการหมุน ( $P_{rotational}$ ) เป็นผลรวมของความสูญเสียเนื่องจากแกนเหล็ก (core loss) และความสูญเสียเนื่องจากความฝืด และแรงลมต้าน (friction and windage losses) ซึ่งในที่นี้พิจารณาเป็นค่าคงที่ ดังนั้นกำลังเอาท์พุทของมอเตอร์ ( $P_{out}$ ) มีค่าเท่ากับ

$$P_{out} = (1-s) \left( P_{in} - \left[ (I_1^2 R_1) + (I_2^2 R_1) + \left( I_{in}^2 \frac{R_1 \times Z_{cap}}{R_1 + Z_{cap}} \right) \right] \right) - P_{rotational} \quad (13)$$

ดังนั้นแรงบิดเอาท์พุท ( $T_{out}$ ) และประสิทธิภาพของมอเตอร์ ( $\eta$ ) สามารถคำนวณได้ดังสมการที่ (14) สมการที่ (15) ตามลำดับ

$$T_{out} = \frac{P_{out}}{\omega_r} \quad (14)$$

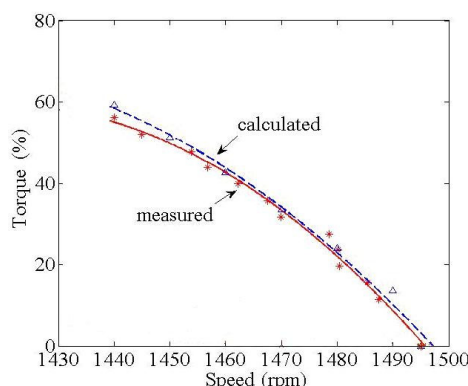
$$\% \eta = \frac{P_{out}}{P_{in}} \times 100 \quad (15)$$

เมื่อ  $\omega_r$  คือ ความเร็วเชิงมุมของโรเตอร์มีค่าเท่ากับ  $\frac{2\pi N_r}{60}$  และ  $N_r$  คือค่าความเร็วโรเตอร์ของมอเตอร์

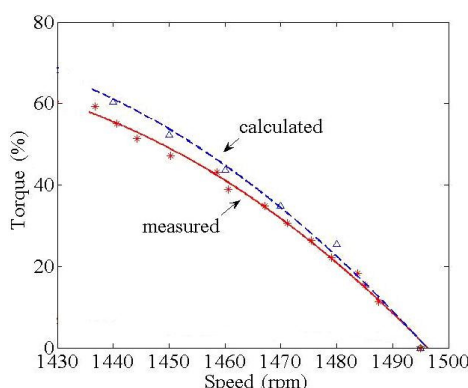
### 3. ผลที่ได้ และการวิเคราะห์ผล

มอเตอร์สามเฟสที่ใช้ทดสอบมีขนาดพิกัด 0.75 kW, 4 Pole, 50 Hz, 220/380 V, 3.5/2.0 A, 1400 rpm, 0.8 p.f. อัตราส่วนจำนวนรอบ ( $a_1$ ) ทดสอบโดยใช้วิธีการของ Veinott [4] ค่าพารามิเตอร์ต่อเฟสของมอเตอร์ดังแสดงในภาคผนวกถูกนำมาแทนค่าลงในวงจรสมมูลดังที่นำเสนอในหัวข้อที่ 2 เพื่อใช้คำนวณหาค่าสมรรถนะของมอเตอร์โดยนำค่าสลิป และค่าค่าปานิชชีเตอร์ที่ใช้ในการทดสอบมอเตอร์จริงขนาด 30 และ 36  $\mu F$  แทนค่าในวงจรสมมูลในวงจรทดสอบมอเตอร์เพื่อนำค่าที่ได้มานะเบรย์บเทียบกับผลการคำนวณนั้นทำการทดสอบมอเตอร์ตั้งแต่ไม่มีโหลด

จนกระทั่งจะแลไฟฟ้าที่ให้ผลผ่านขดลวดเพลิดเพลินี้มีค่าคงที่พิเศษและไฟฟ้า ความสมพันธ์ระหว่างเปอร์เซ็นต์ แรงบิดกับความเร็วของสำหรับการต่อใช้งานเป็นมอเตอร์คาปาซิตเตอร์ต่อร่วมถาวรแบบขันวนเป็นดังรูปที่ 5 และความสมพันธ์ระหว่างประสิทธิภาพกับเปอร์เซ็นต์โหลดเป็นดังรูปที่ 6 จากรูปที่ 5 และ 6 จะเห็นได้อย่างชัดเจนว่า วิธีการประมาณค่าโดยใช้วงจรสมมูลของมอเตอร์เนี่ยวนำหนึ่งเฟสแบบสองขดลวดที่ไม่สมมาตรมาใช้ทำงานาย สมรรถนะของมอเตอร์ให้ผลใกล้เคียงกับผลที่ได้จากการทดสอบจริง อย่างไรก็ตามจะสังเกตุเห็นว่าผลที่ได้จากการ คำนวณมีค่ามากกว่าผลที่ได้จากการทดสอบจริง ซึ่งน่าจะมาจากความพิจารณาค่าความสูญเสียเนื่องจากแกนเหล็ก เป็นค่าคงที่ ดังนั้นถ้านำความต้านทานความสูญเสียของแกนเหล็ก (Core loss resistance) มาพิจารณาร่วมใน วงจรสมมูลแบบเดียวกับวงจรสมมูลของมอเตอร์เนี่ยวนำสามเฟส น่าจะทำให้ผลการทำงานมีความแม่นยำมากขึ้น

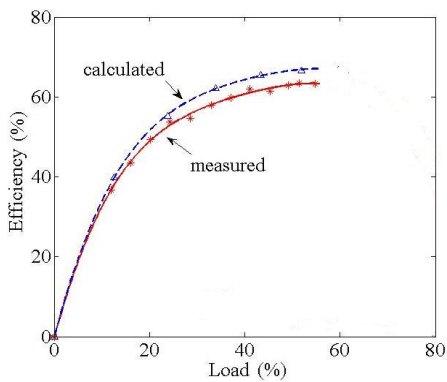


(ก) คาปาซิตเตอร์ขนาด  $30 \mu F$

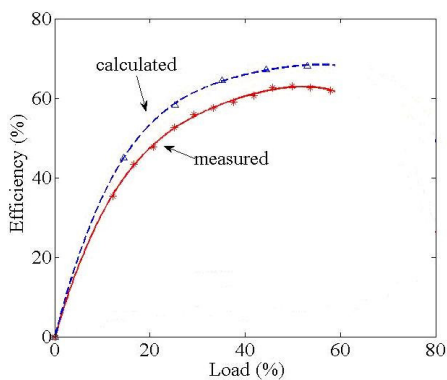


(ข) คาปาซิตเตอร์ขนาด  $36 \mu F$

รูปที่ 5 ความสมพันธ์ระหว่างเปอร์เซ็นต์แรงบิดกับความเร็วของ



(ก) คาปaciเตอร์ชนาด  $30 \mu\text{F}$



(ข) คาปaciเตอร์ชนาด  $36 \mu\text{F}$

รูปที่ 6 ความสัมพันธ์ระหว่างประสิทธิภาพกับเบอร์เซ็นต์โหลด

#### 4. สรุปผล

จากการนำง่วงจำสมมูลของมอเตอร์เห็นได้ว่าหนึ่งเฟสแบบสองขดลวดที่ไม่สมมาตรมาประยุกต์ใช้ทำงานายสมรรถนะของมอเตอร์เห็นได้ยังคงเดิมที่เดิมแต่ต้องเปลี่ยนแปลงมาต่อใช้งานกับระบบไฟฟ้าหนึ่งเฟสในลักษณะของมอเตอร์คาปaciเตอร์ต่อร่วมถาวรแบบขานาน สามารถทำงานายความสัมพันธ์ระหว่างเบอร์เซ็นต์แรงบิดกับความเร็วรอบ และประสิทธิภาพของมอเตอร์ได้สอดคล้องกับผลการทดสอบจริง

ในงานวิจัยต่อไปจะนำค่าพารามิเตอร์ในส่วนของความต้านทานความสูญเสียแกนเหล็ก มาพิจารณาว่ามีในวงจรสมมูล โดยจะวิเคราะห์ถึงตำแหน่งการวางที่เหมาะสม เพื่อทำนายสมรรถนะโดยรวมของมอเตอร์ที่ตัดแปลงให้มีแม่นยำ และสอดคล้องกับการใช้งานมอเตอร์จริง

#### ภาคผนวก

ค่าพารามิเตอร์ของมอเตอร์เป็นดังนี้  $R_1 = 12.158 \Omega$ ,  $R_2 = 10.141 \Omega$ ,  $X_1 = X_2 = 7.395 \Omega$ ,  $X_m = 165.44 \Omega$ , Core loss =  $31.8 \text{ W}$ , Friction and windage losses =  $2.7 \text{ W}$ , Turns ratio  $a_1 = 1.7$

## บรรณานุกรม

- [1] ศลิลพิพย์ สินธุสันธิชาติ และ ณพสิทธิ์ เม่งพัด “การเบรี่ยบเทียบสมรรถนะของมอเตอร์เนี่ยวน้ำสามขดลวดแบบสมมาตรเมื่อใช้กับแหล่งจ่ายแรงดันไฟฟ้าหนึ่งเฟส” การประชุมวิชาการทางวิศวกรรมไฟฟ้า ครั้งที่ 30 หน้า 1-4
- [2] W.J. Morrill. “The Revolving Theory of The Capacitor Motor.” Proc. AIEE Winter Convention, New York, 1929, pp. 614-632.
- [3] ณพสิทธิ์ เม่งพัด “การทำนายสมรรถนะของมอเตอร์เนี่ยวน้ำสามขดลวดแบบสมมาตรเมื่อนำมาใช้กับแหล่งจ่ายแรงดันไฟฟ้าหนึ่งเฟส” ปริญญาวิศวกรรมศาสตรมหาบัณฑิต มหาวิทยาลัยเทคโนโลยีมหานคร, 2550
- [4] Cyril G. Veinott and Joseph E. Martin., Fractional and Subfractional Horsepower Electric Motors. Fourth Edition, Mc-Graw-Hill Book International Company, 1987.